

بررسی نمودار نشست پی- نشست المانهای خاک سست مسلح شده با ژئوستتیک‌ها زیر پی نواری با استفاده از روش پردازش تصویری (PIV)

فروغ اشکان، مریمی، دانشکده مهندسی عمران، دانشگاه مراغه، آذربایجان شرقی، ایران

پست الکترونیکی نویسنده مسئول : ashkan@maragheh.ac.ir

دریافت: 95/04/17 - پذیرش: 95/04/18

چکیده

خاک به عنوان یک محیط دانه‌ای طبیعی حاصل از فرسایش و دگرگونی ستگها در برابر فشار و برش مقاومت خوبی دارد ولیکن مقاومت آن در مقابل کشش بسیار ضعیف می‌باشد. خاک مسلح از دو نوع ماده مختلف (خاک و تقویت کننده) ساخته شده است که توسط ژئوگرید یا ژئوتکستایل که از گروه ژئوستتیک‌ها هستند تقویت می‌شود. مسلح کننده باعث بهبود خواص مکانیکی خاک بواسیله تقویت نیروی کششی می‌شود و نیروی برشی را که توسط خاک منتقل می‌شود کاهش می‌دهد. هدف اصلی این مقاله بررسی نمودار نشست پی- نشست المانهای خاک در مقیاس آزمایشگاهی (استفاده از مدل فیزیکی و روش تصویری PIV (سرعت سنجی تصویری ذرات)) تحت اثر بارگذاری می‌باشد. با توجه به نتایج بدست آمده مشاهده شد که بدلیل تمایل خاک سست به تراکم، نشست المانهای خاک نسبت به نشست پی خیلی کمتر می‌باشد.

واژه‌های کلیدی: خاک مسلح، ژئوستتیک، مدلسازی فیزیکی، روش تصویری، نشست

۱- مقدمه

شد. مشخصات مکانیکی و فیزیکی ژئوتکستایل و ژئوگرید در زیر آورده شده است.

جدول ۱. مشخصات ژئوتکستایل

| | |
|--|--------------|
| Weight (g/m ²) | 300 |
| Thickness (mm) | 1/6 |
| Max. tensile strength, md/cmd* (KN/m) | 13/22 |
| Elongation at Max. Tensile strength, md/cmd* (%) | 50/30 |
| Puncture force (N) | 3890 |
| Displacement at static puncture strength (mm) | 30 |
| Characteristic opening size (mm) | 0.07 |

*(md: machine direction , cmd: cross machine direction)

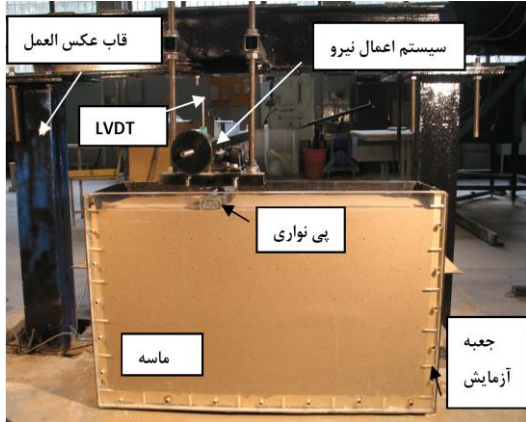
خاک مسلح عبارت است از مسلح کردن خاک بواسیله عناصر کششی نظیر میلگرد، تسمه فولادی و یا ژئوستتیک‌ها. اثرات سودمند خاک مسلح ناشی از دو عامل است. افزایش مقاومت کششی خاک و مقاومت برشی بوجود آمده به علت اصطکاک موجود در سطح تماس خاک و مصالح مسلح کننده

۲- انواع مسلح کننده‌ها

در ساخت فونداسیون خاکی مسلح مورد آزمایش از دو نوع مسلح کننده ژئوگریدها و ژئوتکستایل‌ها استفاده

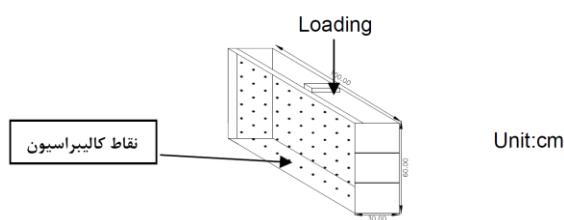
جدول 3. مشخصات ماسه مورد استفاده

| ϕ | G_s | $\gamma (gr/cm^3)$ | C_u | C_c |
|--------|-------|--------------------|-------|-------|
| 27 | 2.67 | 1.5 | 1.25 | 0.992 |



شکل 2. سازه نگهدارنده جک و ظرف مدل آزمایشگاهی

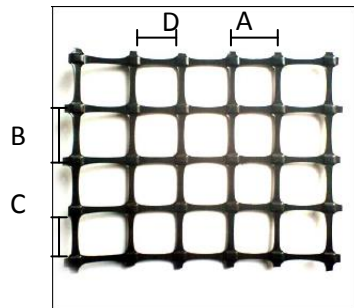
شکل 2 سازه نگهدارنده سیستم اعمال نیرو را نشان می‌دهد. بخاطر عکسبرداری از سیستم در طی بارگذاری‌های متواالی یک طرف محفظه مورد نظر از طلق شفاف به ضخامت 3 سانتی‌متر تشکیل شده است. شکل 3 جعبه مورد نظر را نشان می‌دهد.



شکل 3. جعبه آزمایش

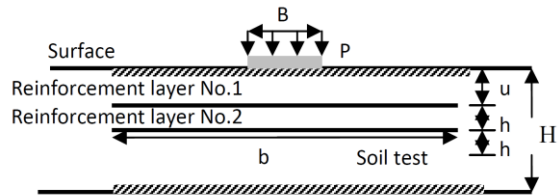
وسیله اعمال بار یک سیستم نیرو کنترل می‌باشد که در آن با افزودن وزنه‌ها تا لحظه گسیختگی نمونه افزایش داده می‌شود. بدلیل کاهش عملیات بارگذاری از سیستم اعمال بار اهرم مانند استفاده شد که دارای بازویی به ابعاد 1.1×0.03 متر و به ضخامت 0.03 میلی‌متر می‌باشد که به یک طرف آن وزنه‌ای به جرم 3 کیلوگرم برای حفظ تعادل در سیستم نصب شده است.

جدول 2. مشخصات ژئوگرید



| | |
|--|-----------|
| Grade | 55/30-20 |
| Polymer Type | Polyester |
| Unit Weight (Kg/m ²) | 0.35 |
| A×B (mm) | 23×23 |
| C×D (mm) | 20×18 |
| T(cult) (KN/m) | 55 |
| Strain at maximum tensile strength (%) | 12.50 |

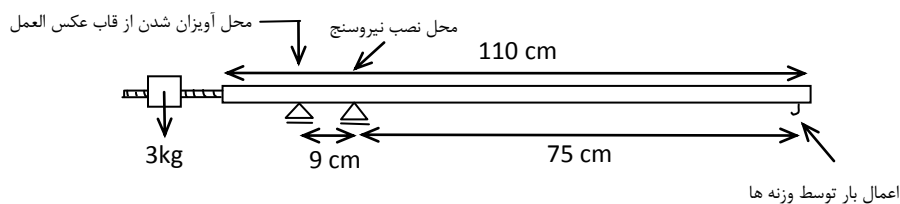
شکل 1، روش استفاده از ژئوستیک‌ها به عنوان مسلح کننده در فونداسیونهای خاکی را نشان داده است. یک یا چند لایه ژئوستیک در فاصله و اندازه‌های مشخص و در بین مصالح پر کننده خاکی در زیر شالوده سطحی نواری قرار می‌گیرد.



شکل 1. نحوه مسلح کردن فونداسیون‌های خاکی

پارامترهای متغیر آزمایشات با توجه به جدول 2 و 1 و شکل 1 عبارتند از: نوع مسلح کننده (ژئوگرید و ژئوتکستیل)، تعداد لایه‌های مسلح کننده (N)، عمق اولین لایه مسلح کننده (u)، پهنای مسلح کننده‌ها (b).

ویژگی‌های مدل فیزیکی و پردازش تصویری در این تحقیق از ماسه خشک آزمایش استفاده شد. در رابطه با نحوه ریزش ماسه، برای ایجاد مدل‌های یکنواخت برای ماسه سست با استفاده از روش بارانی، ماسه از ارتفاع حدود 25 سانتی‌متری ریخته شد.



شکل 4. سیستم بارگذاری مورد استفاده در آزمایشات

9/3 برابر افزایش می‌یابد. شکل 4 تصویر شماتیکی از سیستم بارگذاری و نوع تکیه‌گاهها را نشان می‌دهد.

فاصله محل قرارگیری وزنه‌ها تا محل نصب نیروسنجه سانتی متر است. بنابراین مقدار بار در هر مرحله بارگذاری

جدول 4. مشخصات آزمایشات

| شماره آزمایش | 1 | 2 | 3 | 4 | 5 |
|------------------------------|------------|------------|------------|------------|------------|
| نوع مسلح کننده | Geotextile | Geotextile | Geotextile | Geotextile | Geotextile |
| N | 1 | 1 | 2 | 1 | 1 |
| b/B | 15 | 15 | 15 | 15 | 11 |
| u/B | 0.5 | 0.25 | 0.5 | 1 | 0.5 |
| h/B | - | - | 0.5 | - | - |
| (g/cm ³) دانسیته | 1.45 | 1.45 | 1.45 | 1.48 | 1.45 |

| شماره آزمایش | 6 | 7 | 8 | 9 | 10 |
|------------------------------|------------|------------|------------|---------|---------|
| نوع مسلح کننده | Geotextile | Geotextile | Geotextile | Geogrid | Geogrid |
| N | 2 | 2 | 1 | 1 | 1 |
| b/B | 11 | 11 | 9 | 15 | 15 |
| u/B | 0.25 | 0.5 | 0.5 | 0.5 | 0.25 |
| h/B | 0.5 | 0.5 | - | - | - |
| (g/cm ³) دانسیته | 1.45 | 1.45 | 1.5 | 1.45 | 1.48 |

| شماره آزمایش | 11 | 12 | 13 | 14 | 15 |
|------------------------------|---------|------|---------|---------|---------|
| نوع مسلح کننده | Geogrid | - | Geogrid | Geogrid | Geogrid |
| N | 1 | - | 1 | 1 | 2 |
| b/B | 9 | - | 11 | 15 | 11 |
| u/B | 0.5 | - | 0.75 | 0.75 | 0.75 |
| h/B | - | - | - | - | 0.75 |
| (g/cm ³) دانسیته | 1.45 | 1.45 | 1.45 | 1.45 | 1.45 |

| شماره آزمایش | 16 | 17 | 18 | 19 | 20 |
|------------------------------|---------|------------|------------|------------|------------|
| نوع مسلح کننده | Geogrid | Geotextile | Geotextile | Geotextile | Geotextile |
| N | 2 | 1 | 2 | 1 | 2 |
| b/B | 15 | 8 | 8 | 9 | 9 |
| u/B | 0.75 | 0.5 | 0.5 | 0.5 | 0.5 |
| h/B | 0.75 | - | 0.5 | - | 0.5 |
| (g/cm ³) دانسیته | 1.45 | 1.46 | 1.45 | 1.45 | 1.45 |

نتایج آزمایشات

در زیر نتایج بصورت نمودارهای نشت المانهای خاک- نشت پی ارائه شده که در آن نشت بر حسب میلی‌متر می باشد. ابتدا اثر افزایش عمق و افزایش فاصله از مرکز پی را بر روی نشت المانهای خاک در یک آزمایش مورد بررسی قرار داده و بعد از آن تاثیر پارامترهای متغیر آزمایشات را در قالب نمودار نشت المانهای خاک - نشت پی تحلیل می شود.

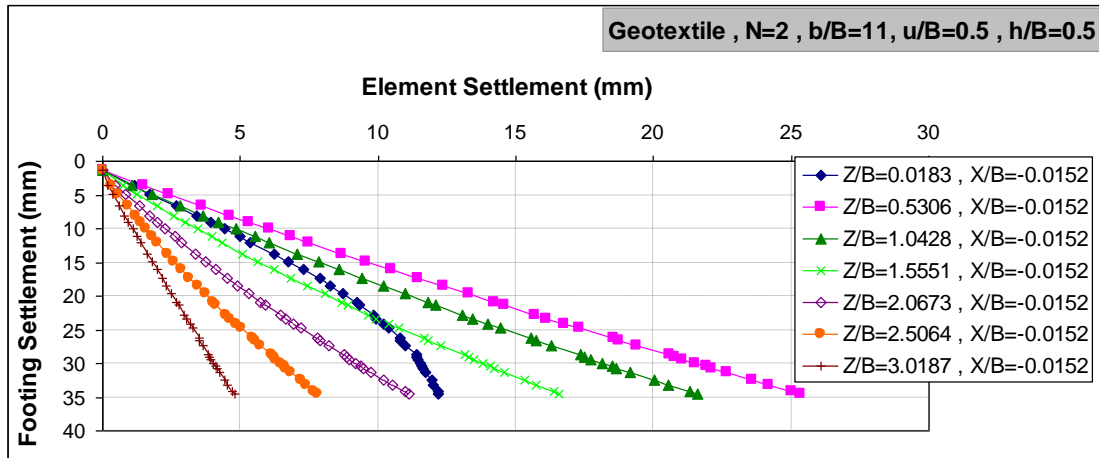
برای تمامی آزمایشات نشت پی با استفاده از LVDT تغییر مکانهای نقاط مختلف خاک در جهت افقی و قائم بدست می آیند. شکل ۵ مقدار تغییر مکان قائم پی را در مقابل تغییر مکانهای قائم به وقوع پیوسته در اعماق مختلف در زیر پی را برای Test 7 نشان می دهد (X فاصله از مرکز پی و Z عمق در زیر پی می باشد).

در طول آزمایش با استفاده از روش PIV از توده خاک در حال تغییر شکل با استفاده از دوربین دیجیتال با وضوح تصویر 7.1 مگا پیکسل (3072×2304) عکسبرداری شده و در حافظه داخلی ذخیره شده و بعد از انجام آزمایشات عکسهای گرفته شده با استفاده از نرم افزار Geopiv8 مورد پردازش تصویری قرار گرفتند. جدول ۴ مشخصات آزمایشات را نشان می دهد.

برای انتقال جابجایی های اندازه گیری شده به فضای واقعی، موقعیت فضای تصویر نقاط مرجع شرح داده شده در فصل دوم با کاربرد کانون یابی چند آستانه تعیین می شود و با مشخص بودن مکان واقعی این نقاط، اندازه پیکسل برای هر آزمایش محاسبه می گردد و اندازه گیریهای انجام گرفته بر حسب پیکسل به فضای واقعی بر حسب میلیمتر منتقل گردیده و بردارهای جابجایی نهایی بدست می آیند. فاکتور کالیبراسیون بدست آمده از فتوگرامتری نزدیک برد برای هر کدام از آزمایشات بصورت جدول زیر می باشد.

جدول ۵. اندازه پیکسل آزمایشات

| شماره آزمایش | اندازه پیکسل (میلی متر) | شماره آزمایش | اندازه پیکسل (میلی متر) |
|--------------|-------------------------|--------------|-------------------------|
| 1 | 0.094 | 11 | 0.232 |
| 2 | 0.091 | 12 | 0.217 |
| 3 | 0.102 | 13 | 0.236 |
| 4 | 0.084 | 1 | 0.249 |
| 5 | 0.088 | 15 | 0.259 |
| 6 | 0.107 | 16 | 0.272 |
| 7 | 0.093 | 17 | 0.277 |
| 8 | 0.082 | 18 | 0.27 |
| 9 | 0.076 | 19 | 0.256 |
| 10 | 0.085 | 20 | 0.257 |



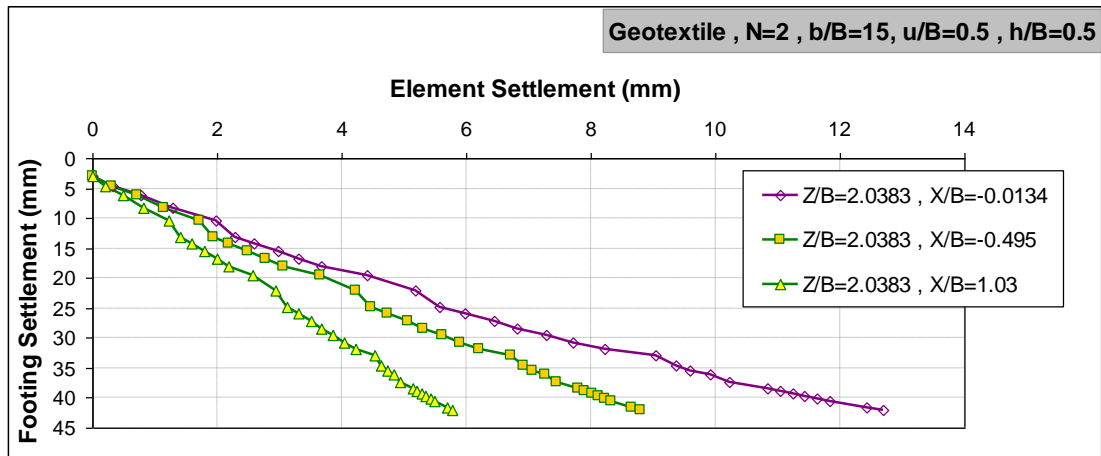
شکل 5. نمودار نشت پی - نشت المانهای خاک در Z/B های مختلف (Test 7)

همانطور که مشاهده می شود در یک نشت پی یکسان با افزایش عمق، نشت المانهای خاک کاهش می یابد و در اعمق پایین تر نشت المانهای خاک نسبت به نشت پی خیلی کمتر می باشد. دلیل این امر ناشی از شل بودن خاک ماسه ای و تمایل به تراکم در زیر پی با افزایش بار می باشد.

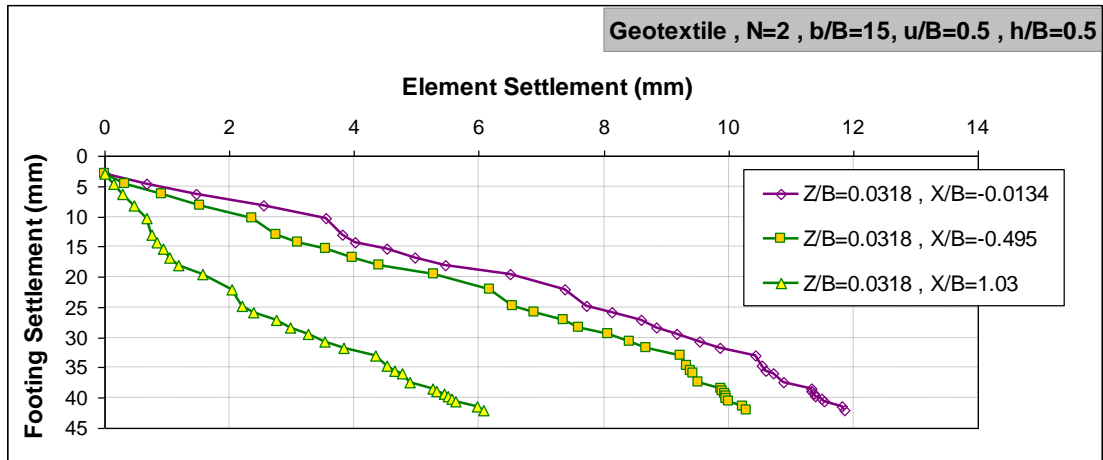
شکل 6 (الف) نشت المانهای خاک را در برابر نشت پی برای $X/B=-0.5$, 0, 1 نشان میدهد. همانطور که دیده می شود در عمق یکسان، با افزایش فاصله از مرکز پی نشت المانهای خاک نسبت به نشت پی کمتر می باشد.

همانطور که مشاهده می شود در یک نشت پی یکسان با افزایش عمق، نشت المانهای خاک کاهش می یابد و در اعمق پایین تر نشت المانهای خاک نسبت به نشت پی خیلی کمتر می باشد. دلیل این امر ناشی از شل بودن خاک ماسه ای و تمایل به تراکم در زیر پی با افزایش بار می باشد.

در $Z/B=0.0183$ که تقریباً زیر پی می باشد نشت المانهای خاک باستثنی بیشتر از اعمق پایین تر می شد. دلیل بروز خطا در این عمق ناشی از این است که صفحه فلزی مورد استفاده به عنوان پی، با افزایش بار و نشت پی، بتدریج از طلق شفاف موجود در جلوی



(الف)



(ب)

شکل 6. نمودار نشت پی - نشت المانهای خاک در X/B های مختلف (Test 3)

خاک زیر پی وجود دارد، در هر سه مورد نشت المانهای خاک کمتر از نشت پی می‌باشد. همچنین در مدل خاک شامل یک لایه ژئوگرید و با نشت پی یکسان، نشت المانهای خاک بیشتر از مدل خاک حاوی یک لایه ژئوتکستایل و حالت غیر مسلح می‌باشد.

با اعمال بارگذاری، در مدل خاک شامل مسلح کننده ژئوگرید بدلیل سختی و مقاومت برشی زیاد توده وسیعی از خاک مسلح دچار تغییر مکان شده و سطح لغزش توسعه می‌یابد. بنابراین المانهایی که در عمق واقع شده اند تحت تاثیر این تغییر مکان قرار گرفته و جابجا می‌شوند. برای خاک حاوی مسلح کننده ژئوتکستایل و حالت غیر مسلح، بدلیل اینکه در میزان نشت پی یکسان فشار اعمالی کمتر از حالت مسلح شده با ژئوگرید می‌باشد سطح لغزش در فاصله اندکی از زیر پی شروع به تشکیل شدن کرده و خاک دچار گسیختگی می‌شود بدون اینکه المانهای اعمق پایین تر تحت تاثیر این تغییر مکان قرار گیرند.

همچنین در خاک شامل مسلح کننده ژئوگرید، نمودار نشت پی - نشت المانهای خاک خطی می‌باشد ولی در مسلح کننده ژئوتکستایل این نمودار از حالت خطی خارج شده است. دلیل این امر میتواند ناشی از سختی مواد مسلح کننده باشد. زیرا مسلح کننده ژئوگرید دارای مقاومت کششی بالا و سختی زیاد می‌باشد. بنابراین

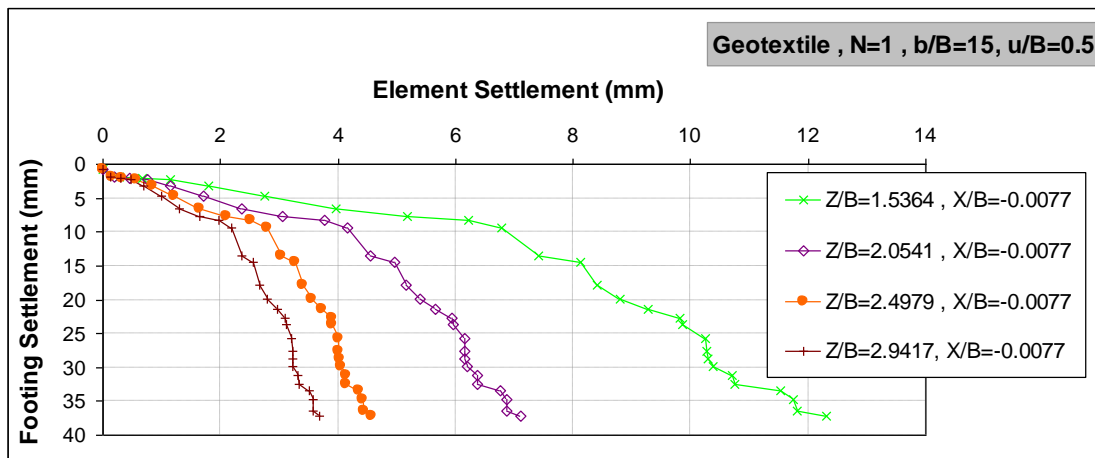
شکل 6 (ب) نشت المانهای خاک را در برابر نشت پی برای $X/B = -0.5, 0, 1$ می‌باشد. مشاهده می‌شود که دو منحنی مربوط به $X/B = -0.5$ در نشت پی تقریبی 42 میلی متر بترتیب دارای نشت المان 12.7 و 8 میلیمتر می‌باشند در حالیکه منحنی مربوط به $X/B = 1$ در این میزان نشت، کاهش زیادی در نشت المانها از خود نشان داده است. زیرا این محدوده به فاصله $X = 63$ میلی متر از پی می‌باشد و با افزایش نشت پی، نشت المانهای خاک افزایش می‌یابد و این مقدار نسبت به دو مورد دیگر کمتر می‌باشد. در حالیکه در $X/B = -0.5$ المان در فاصله میلی متر $X = 30$ پی و در طرف چپ آن قرار گرفته است. این نتایج با مطالعات صورت گرفته توسط (Gill, D.R. and Lehane, B.M. (2000)) و همچنین (Messphysik (1996)) مطابقت دارد.

3- تاثیر نوع مسلح کننده

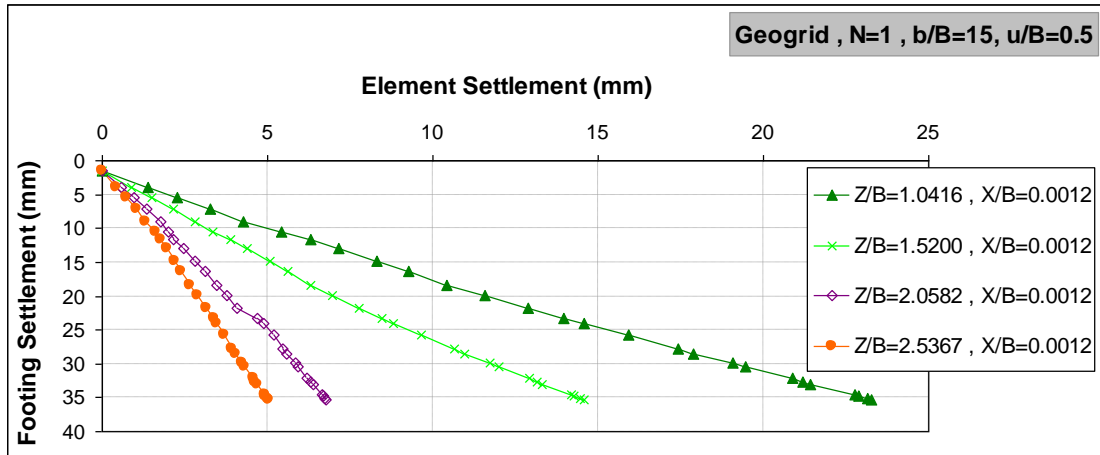
اشکال زیر نمودار نشت پی - نشت المانهای خاک را برای یک لایه ژئوتکستایل و یک لایه ژئوگرید و حالت غیر مسلح نشان می‌دهند. مقایسه شکل 7 و شکل 8 و شکل 9 نشان می‌دهد که بدلیل اینکه خاک مورد استفاده ماسه سست می‌باشد و با افزایش بار، تمایل به تراکم در

در حالت غیر مسلح نیز تا نشست پی ۵ میلی متر، نشست پی با نشست المانهای خاک رابطه تقریباً مستقیم دارد. ولی بعد از آن بدليل وجود گسیختگی های برشی موضعی در خاک در نمودار پرش های ناگهانی دیده می شود.

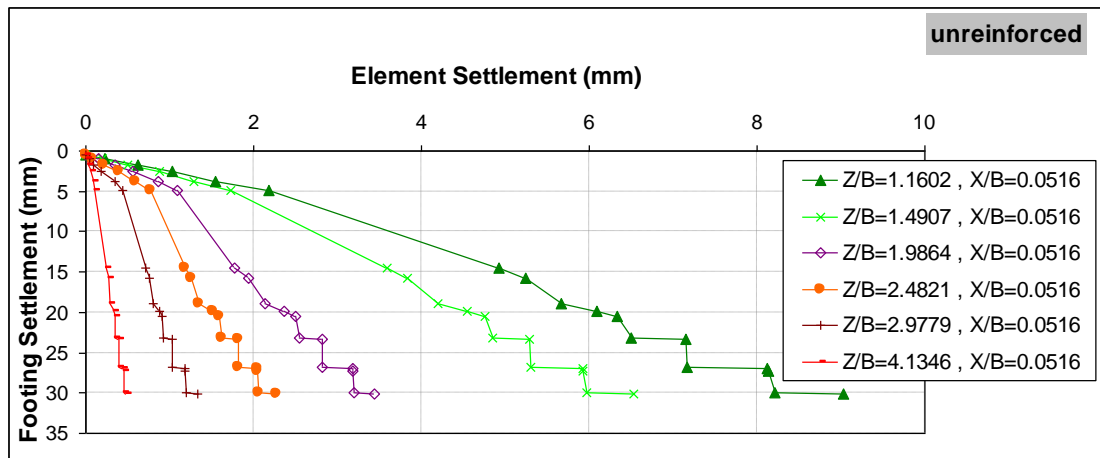
با جابجایی پی، المانهای خاک زیر پی نیز به موازات آن پایین می ایند ولی در مسلح کننده ژئوتکستایل خود لایه ژئوتکستایل با افزایش بار پی چهار کشش و تغییر شکل می شود. بنابراین المانهای خاک زیر لایه مسلح کننده نمی توانند به موازات نشست پی جابجا شوند.



شکل 7. نمودار نشست پی - نشست المانهای خاک در Z/B های مختلف (Test 1)



شکل 8. نمودار نشست پی - نشست المانهای خاک در Z/B های مختلف (Test 9)

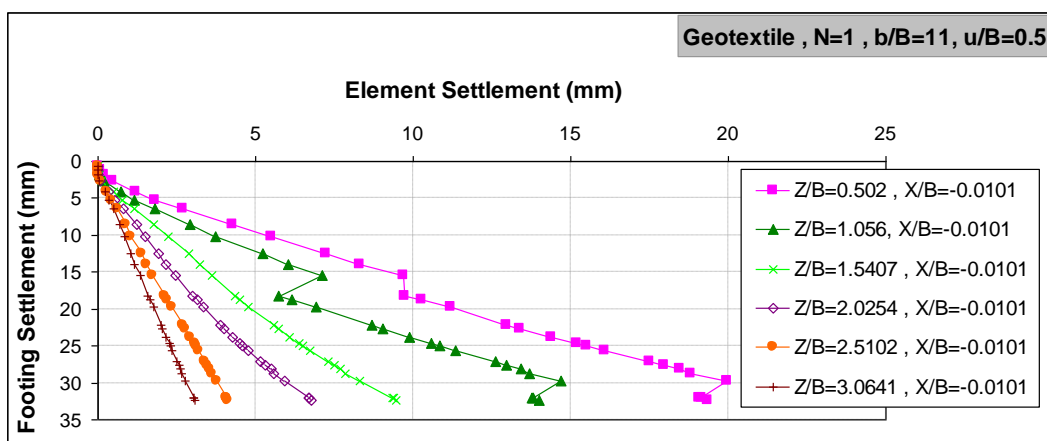


شکل 9. نمودار نشست پی - نشست المانهای خاک در Z/B های مختلف (Test 12)

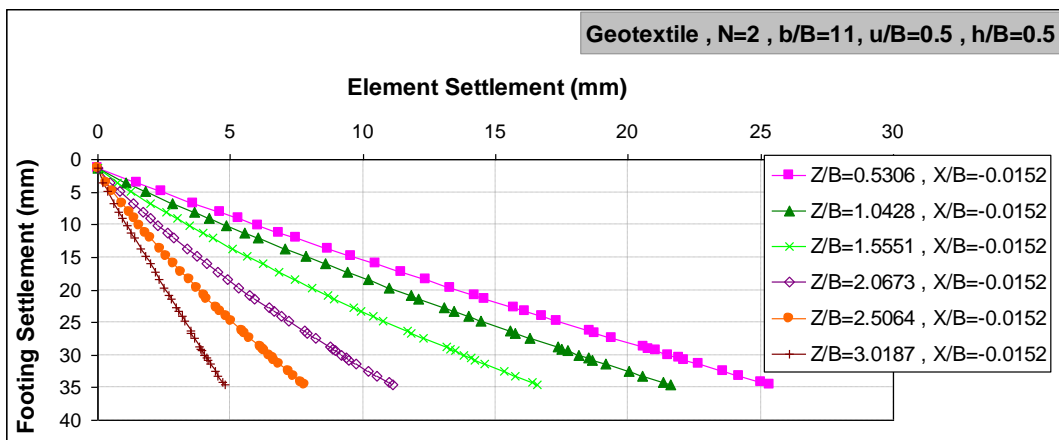
نشست پی نسبت به دو حالت دیگر بیشتر می باشد. با افزایش تعداد لایه های مسلح کننده فونداسیون خاکی مسلح عنوان مجموعه ای یکبارچه عمل کرده و المانهای اعمق پایین تحت تاثیر این جابجایی قرار می گیرند.

تأثیر تعداد لایه های مسلح کننده (N)

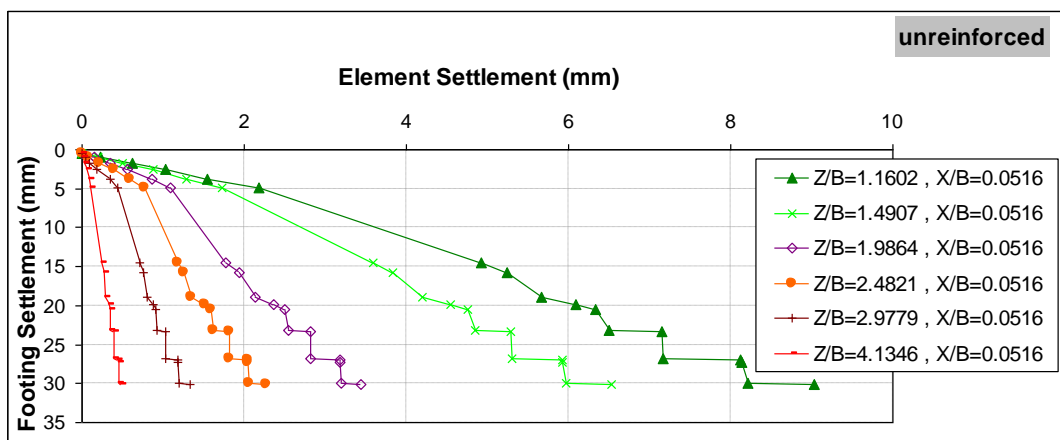
شکل 10 تا شکل 12 نمودار نشست پی - نشست المانهای خاک را برای یک و دو لایه ژئوتکستایل و حالت غیر مسلح نشان می دهد. مشاهده می شود که برای حالت دو لایه ژئوتکستایل نشست المانهای خاک نسبت به



شکل 10. نمودار نشست پی - نشست المانهای خاک در Z/B های مختلف (Test 5)



شکل 11. نمودار نشست پی - نشست المانهای خاک در Z/B های مختلف (Test 7)

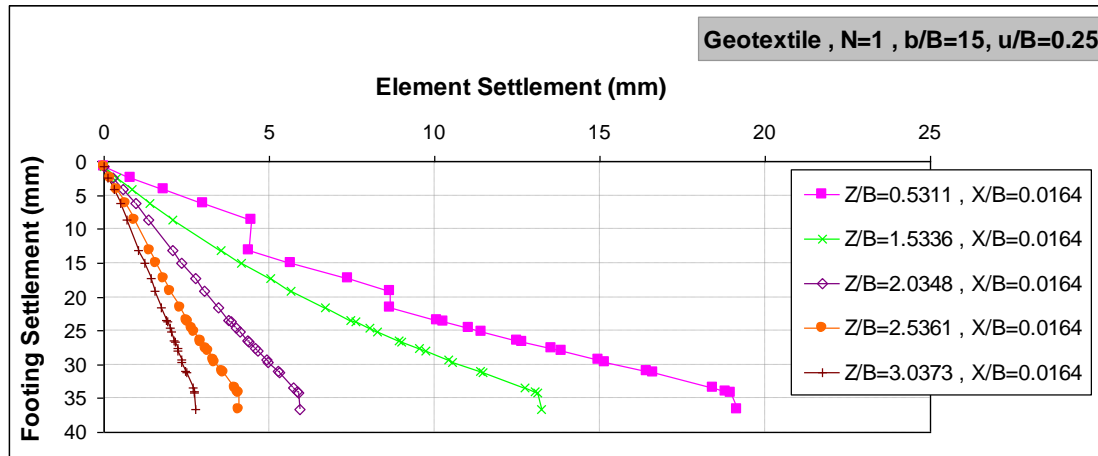


شکل 12. نمودار نشست پی - نشست المانهای خاک در Z/B های مختلف (Test 12)

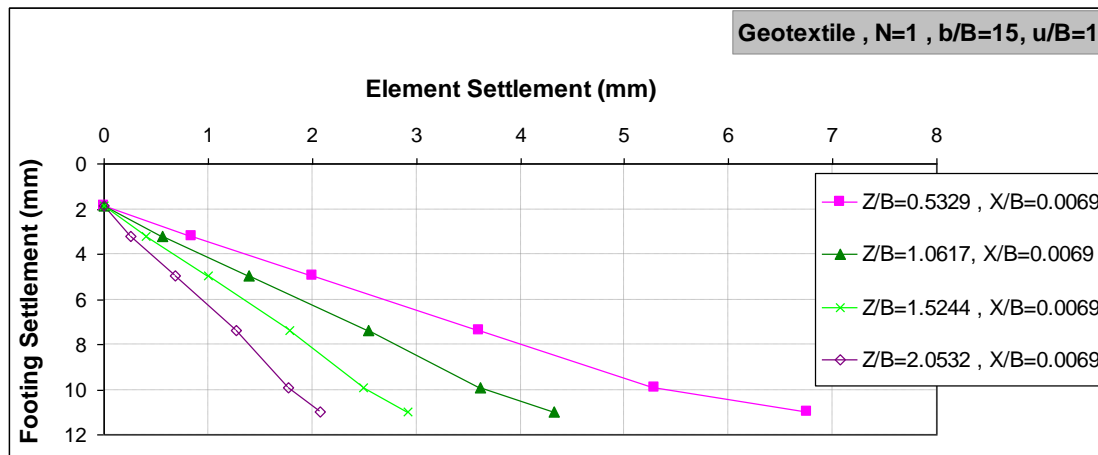
خاک در عمق بحرانی $u/B=0.25$ بیشتر از منحنی مربوط به $u/B=0.5, 1$ می باشد. لیکن در اعمق پایین منحنی دارای $u/B=0.5$ عملکرد خوبی از خود نشان داده است.

تأثیر عمق اولین لایه مسلح کننده (u)

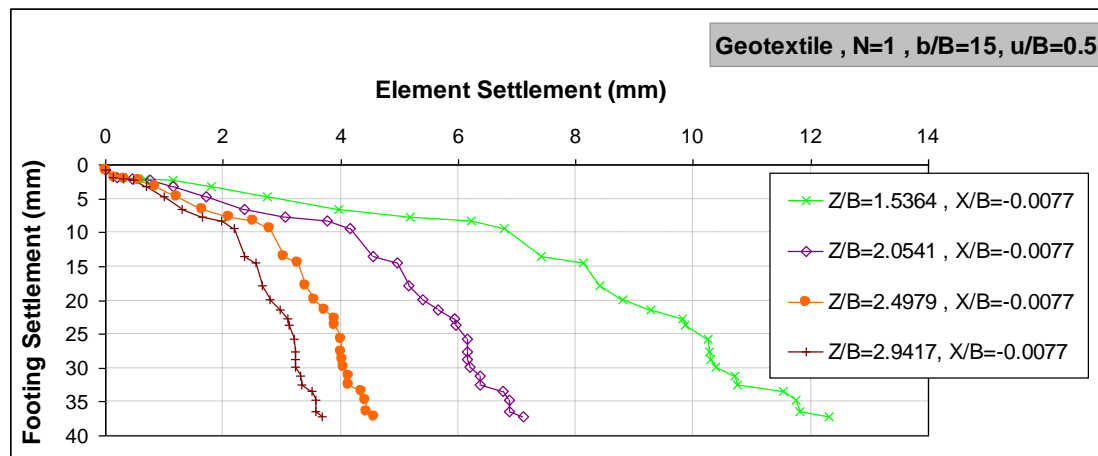
شکل 13 و شکل 14 نمودار نشست پی - نشت المانهای خاک را برای یک لایه ژئوتکسیل در u/B های مختلف نشان می دهد. در فشارهای پایین که در آن المانهای اعمق بالا جایجا می شوند، نشت المانهای



شکل 13. نمودار نشست پی - نشت المانهای خاک در Z/B های مختلف (Test 2)



شکل 14. نمودار نشست پی - نشت المانهای خاک در Z/B های مختلف (Test 4)



شکل 15. نمودار نشست پی - نشت المانهای خاک در Z/B های مختلف (Test 1)

از این مدل ها و بررسی آنها، بتوان پارامترهای متعدد تاثیر گذار بر روی مکانیزم گسیختگی خاک مسلح را مورد بررسی قرار داد. برای انجام اندازه گیری ها روش سرعت سنگی تصویری ذرات (PIV) با پردازش تصویری تصاویر دیجیتال معرفی گردید. تاثیر تمامی حالت های مسلح کننده ها بر روی نمودار نشست المانهای خاک نشست پی مورد بررسی قرار گرفته است. در نهایت با بررسی نمودارهای موجود در تحقیق به این نتیجه می رسیم که خاک مسلح نسبت به حالت غیر مسلح دارای ظرفیت باربری بیشتر و همچنین سطح شکست در موارد تقویت شده با مسلح کننده طولانی تر است و توده عظیمی از خاک مسلح در برابر افزایش بار بسیج شده و ظرفیت باربری بزرگی را پوشش می دهد.

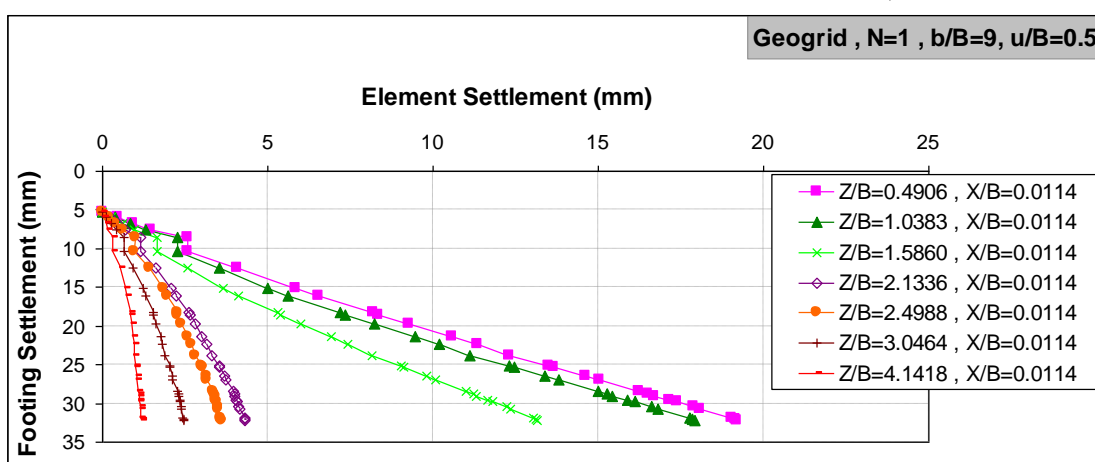
4- تاثیر پهنه ای مسلح کننده ها (b)

شکل 16 و شکل 17 نمودار نشست پی - نشست المانهای خاک را برای یک لایه ژئوتکستایل در b/B های مختلف نشان می دهد. در $b/B=15$ ، مقدار نشست المانهای بیشتری نسبت به $b/B=9$ مشاهده می شود.

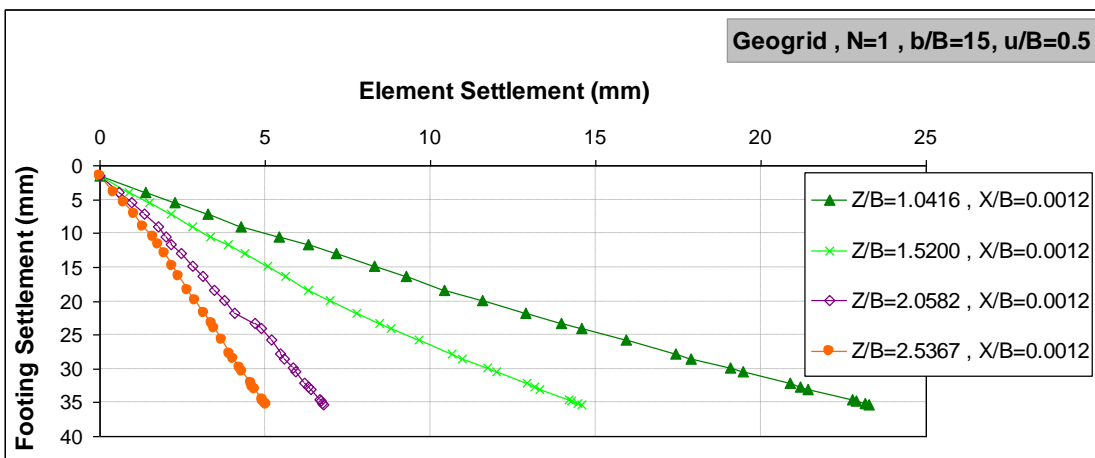
5- نتیجه گیری

در این تحقیق، برای بررسی مکانیزم گسیختگی خاک تسلیح شده با ژئوتکستیک ها که به عنوان روشی مناسب برای افزایش ظرفیت باربری خاک و همچنین بالا بردن مقاومت بر شی فونداسیون مسلح مطرح شده است، از مدل سازی فیزیکی مasse سیست استفاده شده است.

تعدادی مدل فیزیکی با مشخصات شرح داده شده ساخته شدند تا با انجام آزمایش و بدست آوردن داده هایی



شکل 16. نمودار نشست پی - نشست المانهای خاک در Z/B های مختلف (Test 11)



شکل 17. نمودار نشست پی - نشست المانهای خاک در Z/B های مختلف (Test 9)

6-مراجع

- حاجی علیلوی بناب، م. (1386)، "توسعه روش‌های تصویری در مدلسازی‌های پیشرفته ژئوتکنیکی و ارزیابی گسترش تغییر شکل در خاک"، گزارش طرح پژوهشی، دانشگاه تبریز، ایران.
- White D.J., Take W.A. & Bolton M.D. (2003), "Soil deformation measurement using particle image".
Géotechnique 53, No. 7, pp.619-631.
- Terzaghi, K., (1943), Theoretical Soil Mechanics. Wiley, Inc., New York.
- Huang, C.C., Menq, F.Y., (1997), Deep footing and wide-slab effects on reinforced sandy ground. Journal.
- Of Geotechnical al and Geo environmental Engineering, (1999), ASCE 123 (1), pp.30–36.
- Bowles, Joseph E., (1982), " Foundation analysis and design ", McGraw-Hill Inc.
- Taylor R.N., Grant R.J., Robson S. & Kuwano J. (1998). "An image analysis system for determining plane.
- And D displacements in soil models". Proceedings of Centrifuge'98, pp.73-78
pubs. Balkema, Rotterdam.

Investigation of the Foundation Settlement- Elements Settlement Diagrams of Loose Soil Reinforced With Geosynthetics under Strip Footing By the Image Processing Method (PIV)

*F., Ashkan, Instructor, Faculty of Civil Engineering, University of Maragheh,
East Azarbaijan, Iran.
E-mail: ashkan@maragheh.ac.ir*

Received: June 2016-Accepted: Sep. 2016

ABSTRACT

Soil, as a natural gravel environment, has a good resistance to stress and shear, and its resistance to tension is very weak. The reinforced soil is made from two different materials (soil and reinforcement) that are reinforced by geogrid or geotextile, which are a group of geosynthetics. The reinforcement improves the mechanical properties of the soil by increasing the tensile strength and decreases the shear force transmitted by the soil. The main objective of this paper is to investigate the foundation settlement- elements settlement diagrams at the laboratory scale (using the physical model and PIV image (particle velocity) method) under loading. According to the results, it was observed that due to the tendency of loose soils to compression, the soil elements' settlement compared to the foundation settlement is much less.

Keywords: Reinforced Soil, Geosynthetic, Physical Modeling, Image method, Settlement